

# Preparation of Spherical $\text{FePO}_4 \cdot 2\text{H}_2\text{O}$ and $\text{LiFePO}_4/\text{C}$ Electrode Materials by Controlled Solution pH during Oxidation of $\text{Fe}^{2+}$ Ions

Chen Shao, Xuliang Fang, Jingjing Luo, Rongwei Ma, Nan Zhang, Zhenjiang Niu\*

Key Laboratory of the Ministry of Education for Advanced Catalysis Materials, Zhejiang Key Laboratory for Chemistry on Solid Surfaces, Institute of Physical Chemistry, Zhejiang Normal University, Jinhua

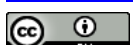
Email: [nzjiang@zjnu.cn](mailto:nzjiang@zjnu.cn)

Received: Apr. 3<sup>rd</sup>, 2014; revised: May 4<sup>th</sup>, 2014; accepted: May 10<sup>th</sup>, 2014

Copyright © 2014 by authors and Hans Publishers Inc.

This work is licensed under the Creative Commons Attribution International License (CC BY).

<http://creativecommons.org/licenses/by/4.0/>



Open Access

## Abstract

$\text{FePO}_4 \cdot 2\text{H}_2\text{O}$  powders with various morphologies and structures were prepared in a solution of 1.0 mol/L  $\text{FeSO}_4$  and 1.0 mol/L  $\text{H}_3\text{PO}_4$  without any additives, by adjusting pH of the solutions during oxidation of  $\text{Fe}^{2+}$  ions.  $\text{LiFePO}_4/\text{C}$  electrode materials were synthesized using the  $\text{FePO}_4 \cdot 2\text{H}_2\text{O}$  precursor,  $\text{Li}_2\text{CO}_3$  and sucrose by the carbothermic reduction method at 700°C for 10 h. The powders were analyzed with X-ray diffraction (XRD), scanning electron microscope (SEM), thermogravimetric-differential thermal analysis (TG-DTA) and cyclic voltammetry (CV) methods. The results show that the spherical  $\text{FePO}_4 \cdot 2\text{H}_2\text{O}$  agglomerates of primary particles about 200 nm can be obtained in the solution of pH controlled within 1.6 - 2.0 when adding  $\text{H}_2\text{O}_2$  for oxidation of  $\text{Fe}^{2+}$  ions. The spherical  $\text{LiFePO}_4/\text{C}$  materials with particles size about 1  $\mu\text{m}$  were synthesized from the nanostructural  $\text{FePO}_4$  precursors. The  $\text{LiFePO}_4/\text{C}$  materials show favorable electrochemical performance in 1.0 mol/L  $\text{Li}_2\text{SO}_4$  aqueous solution.

## Keywords

Ferrous Iron, Oxidation, Solution pH,  $\text{FePO}_4 \cdot 2\text{H}_2\text{O}$ ,  $\text{LiFePO}_4/\text{C}$

# 控制溶液pH值氧化 $\text{Fe}^{2+}$ 离子制备球状 $\text{FePO}_4 \cdot 2\text{H}_2\text{O}$ 及 $\text{LiFePO}_4/\text{C}$ 电极材料

邵辰, 范旭良, 罗晶晶, 马荣伟, 张南, 牛振江\*

\*通讯作者。

浙江师范大学物理化学研究所, 固体表面反应化学浙江省重点实验室, 先进催化材料教育部重点实验室,  
金华  
Email: \* [nzjiang@zjnu.cn](mailto:nzjiang@zjnu.cn)

收稿日期: 2014年4月3日; 修回日期: 2014年5月4日; 录用日期: 2014年5月10日

## 摘要

在1.0 mol/L FeSO<sub>4</sub>和H<sub>3</sub>PO<sub>4</sub>溶液中, 通过调节氧化Fe<sup>2+</sup>时溶液的pH值, 在无任何添加剂的条件下制备出不同形貌和结构的FePO<sub>4</sub>·2H<sub>2</sub>O沉淀。以FePO<sub>4</sub>前驱体、Li<sub>2</sub>CO<sub>3</sub>和蔗糖为原料, 经700℃碳热反应10 h后得LiFePO<sub>4</sub>/C电极材料。运用X-射线衍射(XRD)、扫描电子显微镜(SEM)、热重-差热(TG-DTA)和循环伏安(CV)等方法对样品进行了表征。结果显示, 当加入H<sub>2</sub>O<sub>2</sub>时溶液的pH在1.6~2.0之间, 可得到由200 nm左右的一次颗粒构成的球状FePO<sub>4</sub>·2H<sub>2</sub>O粉末。由纳米结构FePO<sub>4</sub>前驱体合成得到粒径为1 μm左右的球形LiFePO<sub>4</sub>/C, 其在1.0 mol/L Li<sub>2</sub>SO<sub>4</sub>水溶液中显示良好的电化学性能。

## 关键词

亚铁离子, 氧化, pH, FePO<sub>4</sub>·2H<sub>2</sub>O, LiFePO<sub>4</sub>/C

## 1. 引言

橄榄石结构的LiFePO<sub>4</sub>具有锂离子循环性能好、安全性能高且成本低廉、资源丰富等优点[1]-[8], 通过掺杂、纳米化及碳包覆等方法可改善其电子电导率和锂离子扩散速率[9] [10], LiFePO<sub>4</sub>材料在动力电池、储能电源等方面将有更多的应用。

LiFePO<sub>4</sub>的性能和形貌依赖于合成条件。共沉淀、水热、高温固相等方法均能制备得到LiFePO<sub>4</sub>材料。FePO<sub>4</sub>是高温固相合成LiFePO<sub>4</sub>的主要铁源前驱体, 因为FePO<sub>4</sub>中包含了等摩尔比值的[Fe<sup>3+</sup>]和[PO<sub>4</sub><sup>3-</sup>], LiFePO<sub>4</sub>的形成更容易[11]。国内外已有大量涉及FePO<sub>4</sub>合成方法和条件的研究报道[12]-[20]。其中一种方法是通过氧化Fe<sup>2+</sup>和H<sub>3</sub>PO<sub>4</sub>混合溶液中的Fe<sup>2+</sup>, 再调节溶液pH得到FePO<sub>4</sub>·2H<sub>2</sub>O沉淀, 进而脱水得到FePO<sub>4</sub>[15]-[18]。这种先氧化再沉淀的方法, 由于Fe<sup>3+</sup>的水解难以避免, 水解产物完全转变为FePO<sub>4</sub>需要很长的时间。更重要的是需要加入各种有机添加剂来控制FePO<sub>4</sub>·2H<sub>2</sub>O沉淀的晶粒尺寸和形貌。彭忠东[19]等在均相沉淀法制备前驱体FePO<sub>4</sub>·xH<sub>2</sub>O时, 采用表面活性剂PEG来改变前驱体晶体形貌, 减少一次颗粒的团聚。罗国恩[20]等则通过吡咯的原位聚合来控制FePO<sub>4</sub>的结晶过程, 得到粒径小且分布均匀的介孔FePO<sub>4</sub>/PPy前驱体。

本文采用两步调节反应溶液pH值的方法制备FePO<sub>4</sub>·xH<sub>2</sub>O前驱体。通过调节H<sub>2</sub>O<sub>2</sub>氧化Fe<sup>2+</sup>时混合溶液的pH值(pH<sub>(1)</sub>), 利用此条件下自发形成的可溶性Fe(II)-Fe(III)多核络合物[21]来控制FePO<sub>4</sub>·2H<sub>2</sub>O的结晶过程, 在不加入任何有机添加剂的条件下, 制备出类球状FePO<sub>4</sub>·2H<sub>2</sub>O粉末。进而通过碳热还原制备出球状的LiFePO<sub>4</sub>/C材料。考察了pH<sub>(1)</sub>对前驱体的结构和形貌的影响, 测试了LiFePO<sub>4</sub>/C在Li<sub>2</sub>SO<sub>4</sub>水溶液中的循环伏安(CV)性能。

## 2. 实验部分

### 2.1. FePO<sub>4</sub>·2H<sub>2</sub>O 和 LiFePO<sub>4</sub>的制备

在250 mL五颈烧瓶中, 依次加入15 g FeSO<sub>4</sub>·7H<sub>2</sub>O固体, 3.7 mL 85%的H<sub>3</sub>PO<sub>4</sub>(ρ=1.70 g/mL)和50 mL

蒸馏水，反应浓度均为 1.0 mol/L。在转速 500 rpm 机械搅拌下，溶液升温至 45℃，首先用 2.5 mol/L 的 NaOH 溶液调节反应液的 pH<sub>(1)</sub> 在 1.2~2.2 之间。溶液的 pH 使用 BANTE220 携带型 pH 计测量。然后滴加 30% 的 H<sub>2</sub>O<sub>2</sub>，即有白色沉淀产生，同时溶液会转变为深绿色，溶液的 pH 值也会逐渐降低。通过 α-α'-联吡啶显色(红色)法检测溶液中无 Fe<sup>2+</sup>后，沉淀呈灰白色。再次用 NaOH 调 pH 至 2.0，并升高溶液温度至 80℃，搅拌陈化 2 h。反应结束后，抽滤、洗涤、烘干，得到白色粉末样品。所有的实验试剂均为分析纯试剂。

白色沉淀经 500℃ 加热脱水 4 h 后，按照 FePO<sub>4</sub>:Li<sub>2</sub>CO<sub>3</sub>:蔗糖摩尔比为 1:0.52:0.1 的比例混合，并加入适量蒸馏水作为球磨介质，在 500 r/min 转速下球磨 2 h 后，在氮气保护下 700℃ 煅烧 10 h 得到黑色 LiFePO<sub>4</sub>/C。

## 2.2. 材料的表征

样品结构采用荷兰 Phillips 公司生产的 PW 3040/60 型 X-射线衍射仪进行分析，X 光源为 Cu K $\alpha$  射线、工作电压 40 kV、工作电流 40 mA；形貌用日本 Hitachi 公司的 S-4800 型高分辨场发射扫描电镜和日本电子公司的 JEM-2100F 透射电子显微镜表征；热分析用德国 Netzsch 公司的 STA449C 型热分析仪记录 TG-DTA 曲线，氮气气氛、温度范围 30℃~800℃、升温速率为 10℃/min。

## 2.3. 电化学测试

将活性物质 LiFePO<sub>4</sub>/C、乙炔黑和 PVDF 按照 75:15:10 的质量比例混合均匀，充分研磨烘干后，滴加 NMP 超声处理，涂布在 0.2 cm<sup>2</sup> 的金电极上制成工作电极。铂为对电极，饱和甘汞为参比电极。参照文献[22] [23]，在室温下通过 CHI660C 电化学工作站测试 LiFePO<sub>4</sub>/C 材料在 1.0 mol/L Li<sub>2</sub>SO<sub>4</sub> 水溶液中的循环伏安曲线。测试的电位范围为 -0.6 V~0.9 V，扫描速率范围为 1.0~50 mV/s。

## 3. 结果与讨论

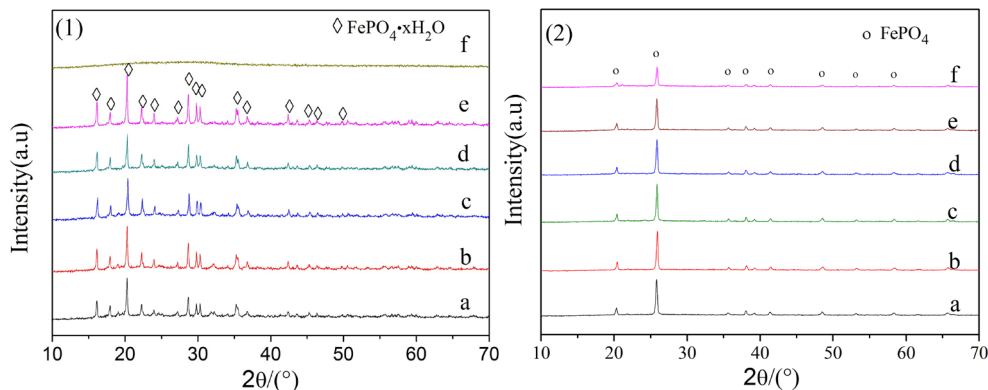
### 3.1. pH<sub>(1)</sub> 对 FePO<sub>4</sub> 前驱体结构和形貌的影响

1.0 mol/L 的 FeSO<sub>4</sub>·7H<sub>2</sub>O 和 H<sub>3</sub>PO<sub>4</sub> 的初始混合溶液的 pH 为 0.8。滴加 NaOH 溶液调节 pH<sub>(1)</sub> 在 1.2~2.2 之间，再经 H<sub>2</sub>O<sub>2</sub> 进行氧化、调节 pH<sub>(2)</sub> 到 2.0，80℃ 下搅拌陈化后，均能得到白色的沉淀。图 1 和图 2 给出了不同 pH<sub>(1)</sub> 下制备的样品的 XRD 和 SEM 分析结果，图 1(1) 表明在 pH<sub>(1)</sub> 1.2~2.0 范围内，白色沉淀都是纯相的 FePO<sub>4</sub>·xH<sub>2</sub>O。而 pH<sub>(1)</sub> 2.2 时的沉淀产物，XRD 曲线中没有出现特征的衍射峰，表明该产物为无定型状态。经加热除去结晶水后，所有沉淀产物均转变为无水的 FePO<sub>4</sub>(图 1(2))。

图 2 的 SEM 分析结果表明，不同 pH<sub>(1)</sub> 值条件下制备的产物形貌发生了变化。随着 pH<sub>(1)</sub> 由 1.2 升高至 2.0，产物的一次颗粒的粒径逐步变得更加均匀，大小在 200 纳米左右。而且在 pH<sub>(1)</sub> 在 1.6~2.0 范围内时，小颗粒聚集形成的二次颗粒呈类球形。但 pH<sub>(1)</sub> 为 2.2 时，颗粒形貌又变得大小不均匀，形貌无规则。

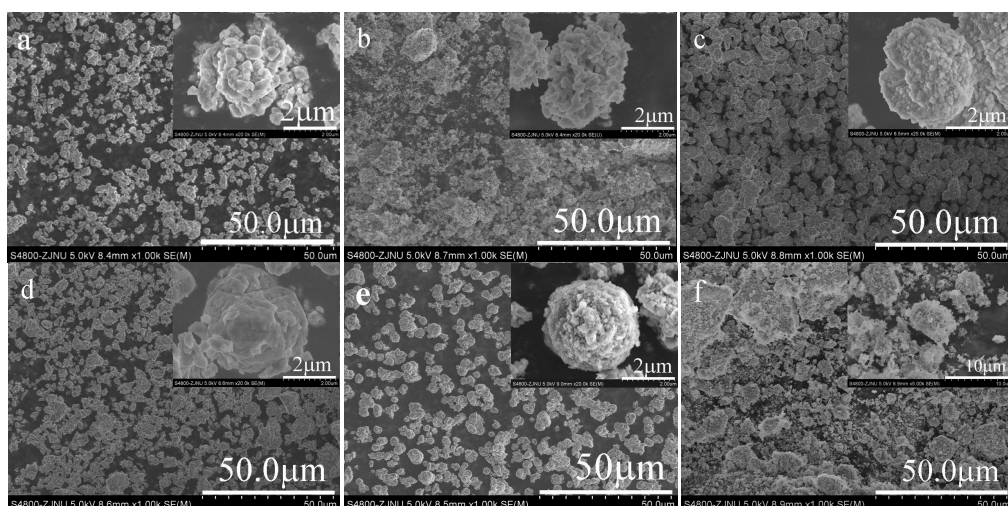
热分析表明在 pH<sub>(1)</sub> 1.2~2.0 下制备的前驱体都有相同的热分解性质。图 3 给出了 pH<sub>(1)</sub> 2.0 制备的样品的 TG-DTA 曲线。在升温过程中，TG 曲线表明在 30℃~200℃ 之间有一个由于脱去结晶水的失重过程。总失重量为 20%，与 FePO<sub>4</sub>·2H<sub>2</sub>O 的理论含水量相符。DTA 曲线在 90℃ 和 195℃ 有两个明显的吸热峰，对应于前驱体的脱水过程。而在 670℃ 处出现一个放热峰，但没有伴随质量的变化，可能对应于 FePO<sub>4</sub> 从非晶态转变为纯晶态的结晶过程[24]。

实验结果表明，通过控制 Fe<sup>2+</sup> 氧化时的 pH<sub>(1)</sub>，在不加入表面活性剂等添加剂的情况下，可制备出由亚微米一次颗粒构成的类球状 FePO<sub>4</sub>·2H<sub>2</sub>O 前驱体。其基本原理是，根据 25℃ 时 H<sub>3</sub>PO<sub>4</sub> 的逐级电离常数 (K<sub>a1</sub> = 7.6 × 10<sup>-3</sup>、K<sub>a2</sub> = 6.3 × 10<sup>-8</sup> 和 K<sub>a3</sub> = 4.4 × 10<sup>-13</sup>[25])，可计算出 pH 为 2.0 时 1.0 mol/L 的 H<sub>3</sub>PO<sub>4</sub> 溶



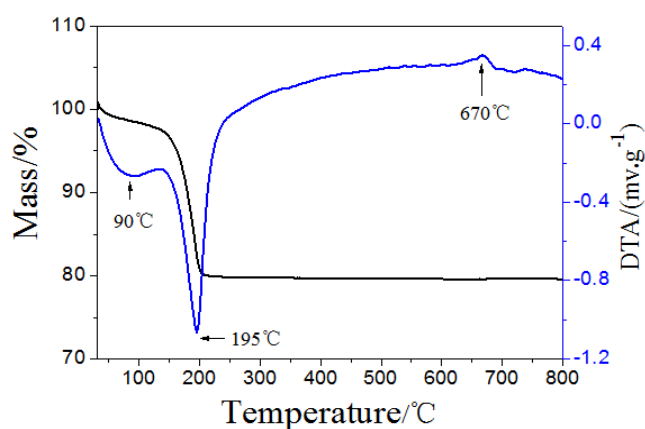
**Figure 1.** XRD patterns of iron phosphate prepared at various pH values: (a) pH = 1.2; (b) pH = 1.4; (c) pH = 1.6; (d) pH = 1.8; (e) pH = 2.0; (f) pH = 2.2

**图 1.** 不同 pH 值下合成磷酸铁的 XRD 图:(a) pH = 1.2; (b) pH = 1.4; (c) pH = 1.6; (d) pH = 1.8; (e) pH = 2.0; (f) pH = 2.2



**Figure 2.** SEM of FePO<sub>4</sub>·xH<sub>2</sub>O prepared at various pH<sub>(1)</sub> values: (a) pH = 1.2; (b) pH = 1.4; (c) pH = 1.6; (d) pH = 1.8; (e) pH = 2.0; (f) pH = 2.2

**图 2.** 不同 pH<sub>(1)</sub> 下合成 FePO<sub>4</sub>·xH<sub>2</sub>O 的 SEM 图: (a) pH = 1.2; (b) pH = 1.4; (c) pH = 1.6; (d) pH = 1.8; (e) pH = 2.0; (f) pH = 2.2



**Figure 3.** TG-DTA curves of FePO<sub>4</sub>·2H<sub>2</sub>O

**图 3.** FePO<sub>4</sub>·2H<sub>2</sub>O 的热分析图谱

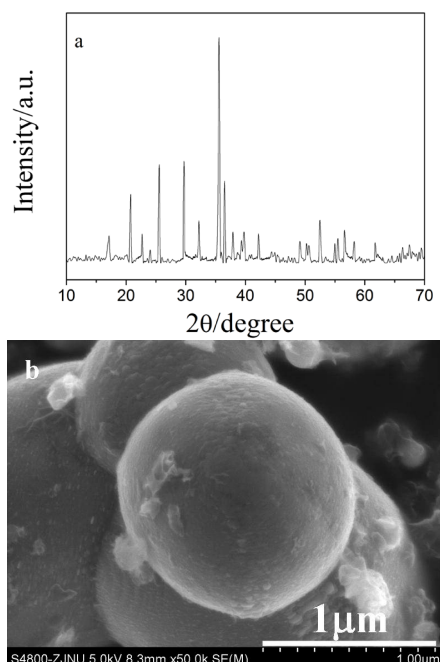
液中 PO<sub>4</sub><sup>3-</sup>的浓度约为  $2.1 \times 10^{-16}$  mol/L, 溶液中存在的主要物种是 H<sub>2</sub>PO<sub>4</sub><sup>-</sup>。Fe<sub>3</sub>(PO<sub>4</sub>)<sub>2</sub> 和 Fe(OH)<sub>2</sub> 的 K<sub>sp</sub> 值分别为  $1.0 \times 10^{-36}$ <sup>[26]</sup> 和  $8.0 \times 10^{-16}$ <sup>[25]</sup>, 因此 Fe<sub>3</sub>(PO<sub>4</sub>)<sub>2</sub> 和 Fe(OH)<sub>2</sub> 沉淀都很难形成。而 FePO<sub>4</sub> 和 Fe(OH)<sub>3</sub> 的 K<sub>sp</sub> 分别为  $1.3 \times 10^{-22}$  和  $4.0 \times 10^{-38}$ <sup>[25]</sup>, 加入 H<sub>2</sub>O<sub>2</sub> 氧化 Fe<sup>2+</sup>生成的 Fe<sup>3+</sup>, 将优先与 PO<sub>4</sub><sup>3-</sup> 形成 FePO<sub>4</sub> 沉淀。在生成 FePO<sub>4</sub> 沉淀的同时, H<sub>2</sub>PO<sub>4</sub><sup>-</sup> 和 HPO<sub>4</sub><sup>2-</sup> 的电离平衡将向右移动, 导致溶液的 pH 稍有降低, 溶液 pH 降低有利于进一步减缓 Fe<sup>3+</sup>的水解。更重要的是, 在滴加 H<sub>2</sub>O<sub>2</sub>的过程中, 溶液颜色逐渐变为深绿色, 显示有可溶性的 Fe(II)-Fe(III)络合物的形成<sup>[21]</sup>, 这种可溶性绿色络合物是由氧桥和羟桥相连的多核络合物。在中性或弱碱性溶液中, 可溶性多核络合物将逐渐聚合成 Fe(II)-Fe(III)层状氢氧硫酸盐沉淀(绿锈 II), 并能自发地转变为 Fe<sub>3</sub>O<sub>4</sub><sup>[27]</sup>。绿色络合物和绿锈都具有较高的化学反应活性。如绿锈能够吸附 PO<sub>4</sub><sup>3-</sup><sup>[28]</sup>、还原 NO<sup>3-</sup><sup>[29]</sup>和 Ag、Au、Cu 离子<sup>[30]</sup>。在本文选择的 pH<sub>(1)</sub>在 1.2~2.0 条件下, 这种可溶性的 Fe(II)-Fe(III)多核络合物可能与溶液中共存的 H<sub>2</sub>PO<sub>4</sub><sup>-</sup>、HPO<sub>4</sub><sup>2-</sup>、PO<sub>4</sub><sup>3-</sup> 和新生成的 FePO<sub>4</sub> 晶核相互作用, 影响了 FePO<sub>4</sub> 晶粒的生长过程, 使晶粒的大小和形貌都较为均匀, 还在一定条件下有利于一次晶粒聚集形成球形的二次颗粒。但溶液的 pH<sub>(1)</sub>值和温度都不宜太高, 因为较高的 pH 和温度有利于 Fe<sup>3+</sup>的水解反应, 也有利于绿锈的生成。都会导致沉淀的颗粒尺寸和产物纯度难以控制。

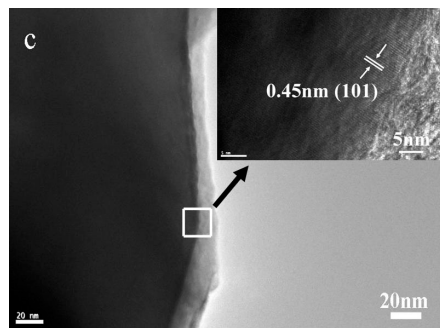
若按常规的方法, 在含 1:1 的 FeSO<sub>4</sub>·7H<sub>2</sub>O 和 H<sub>3</sub>PO<sub>4</sub> 溶液中, 先加 H<sub>2</sub>O<sub>2</sub> 将 Fe<sup>2+</sup>氧化为 Fe<sup>3+</sup>, 再用 NaOH 调 pH 到 2.0, 由于氧化时溶液的 pH 过低, 不能形成 FePO<sub>4</sub> 沉淀。在加 NaOH 调节溶液 pH 的过程中, 溶液中的 Fe<sup>3+</sup>离子的水解反应与生成 FePO<sub>4</sub> 的反应同时发生, 体系中会生成大量的深褐色沉淀, 水解产物转化为白色 FePO<sub>4</sub> 需要更长的时间。而且若不加入表面活性剂等有机添加剂, 得到的产物颗粒尺寸都不均匀。

因此, 通过调节氧化 Fe<sup>2+</sup>时的 pH, 控制 FePO<sub>4</sub> 沉淀生成的条件, 可在不添加有机添加剂的条件下制备出颗粒尺寸均匀的 FePO<sub>4</sub>·2H<sub>2</sub>O 前驱体。有利于降低 LiFePO<sub>4</sub> 的生产成本, 提高生产效益。

### 3.2. LiFePO<sub>4</sub> 的制备和表征影响

以 pH<sub>(1)</sub>2.0 制备的 FePO<sub>4</sub>·2H<sub>2</sub>O 为前驱体, 经过脱水、混合球磨和高温煅烧, 制备得 LiFePO<sub>4</sub>/C。图 4 是所得 LiFePO<sub>4</sub> 样品的 XRD、SEM 和 TEM 分析结果。





**Figure 4.** XRD (a), SEM (b) and TEM (c) images of LiFePO<sub>4</sub>  
**图 4.** LiFePO<sub>4</sub> 的 XRD (a)、SEM (b) 和 TEM (c) 图

图 4(a)和 4(b)表明经高温固相反应后，生成了纯相的 LiFePO<sub>4</sub>。产物呈表面较为光滑的球形，粒径约 1 μm，说明前驱物在固相高温碳还原时，可能存在反应融合的过程。图 4(c)则揭示在颗粒表面存在较明显的、厚度约为 10~15 nm 的包覆层。包覆层下呈良好的晶体结构，晶面距 0.45 nm，与 LiFePO<sub>4</sub> 的(101)晶面间距相符[26] [31]。包覆层则无晶格条纹，可推测为无定形碳层[31]。LiFePO<sub>4</sub> 表面上的碳包覆层将有利于增强材料的导电性，提高材料的电化学性能。

由于 LiFePO<sub>4</sub> 处于水的电位稳定区间，锂离子在水溶液电解液中能可逆地脱嵌，水系电解液代替有机电解液可提高锂离子电池的安全性能。但因水分解电压(1.23 V)的限制，水溶液 Li<sup>+</sup>电池的最高电压只能在 2.0 V 左右。LiFePO<sub>4</sub> 在水系电解液中的电化学行为已有一些研究报道。如 Manickam 等[32]研究了 LiFePO<sub>4</sub> 在饱和 LiOH 水溶液中的电化学可逆性。发现在氧化过程，锂离子从 LiFePO<sub>4</sub> 中脱出，但随后进行还原反应时，除了生成 LiFePO<sub>4</sub> 还有 Fe<sub>3</sub>O<sub>4</sub>，反应不可逆。黄可龙[33]等的研究表明，LiFePO<sub>4</sub> 在饱和 LiNO<sub>3</sub> 电解液中具有良好的电化学可逆性。Mi[23]等研究了 LiFePO<sub>4</sub> 材料在 Li<sub>2</sub>SO<sub>4</sub> 水溶液中的 CV 性能，测得 Li<sup>+</sup>的扩散系数为 10<sup>-11</sup> 数量级。He[22]等对比了 LiFePO<sub>4</sub> 正极材料在 Li<sub>2</sub>SO<sub>4</sub> 水溶液和 LiPF<sub>6</sub>-PC 有机电解液中的锂离子扩散情况。他们的结果表明，作为电解液，1.0 mol/L Li<sub>2</sub>SO<sub>4</sub> 比 1.0 mol/L 的 LiPF<sub>6</sub>-PC 有机溶液更适合锂离子的电荷转移。显示在水系电解液中进行 CV 测试是表征 LiFePO<sub>4</sub> 材料电化学性能的一种简便方法。

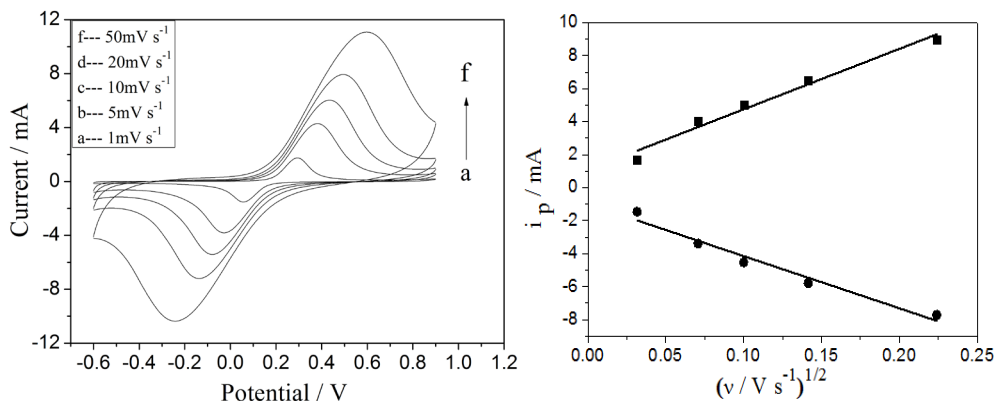
本文自制的 LiFePO<sub>4</sub>/C 材料在 1.0 mol/L 的 Li<sub>2</sub>SO<sub>4</sub> 水溶液中 CV 曲线见图 5(a)。可见随着电位扫描速率增加，氧化还原峰电流( $i_{pa}$  和  $i_{pc}$ )也增加，同时氧化还原峰电位( $E_{pa}$  和  $E_{pc}$ )分别向正、负方向偏移，峰电位的间距  $\Delta E$  增大。图 5(b)给出了  $i_p-v^{1/2}$  的关系图，显示两条基本对称的直线。表明在 1.0 mol/L 的 Li<sub>2</sub>SO<sub>4</sub> 水溶液中，Li<sup>+</sup>的扩散过程是整个反应的控制步骤。对于扩散控制的电极反应，峰电流与电位扫描速率有如下的关系[34]：

$$i_p = (2.69 \times 10^5) n^{3/2} A D^{1/2} v^{1/2} c \quad (1)$$

式中  $n$  为反应过程中的得失电子数(LiFePO<sub>4</sub> 体系中  $n = 1$ )， $A$  为工作电极的面积， $D$  为锂离子的扩散系数， $v$  为电位扫描速率， $c$  为锂离子的体相浓度。在 LiFePO<sub>4</sub> 中每个单晶晶胞中有 4 个锂离子，单晶体积为  $2.929 \times 10^{-28}$ [1]，则晶胞中锂离子的体相浓度  $c = 2.28 \times 10^{-2} \text{ mol} \cdot \text{cm}^{-3}$ 。根据图 5(b)中直线的斜率，可求得 Li<sup>+</sup> 在电极氧化还原过程中的扩散系数，分别为  $D_{\text{Li}^+,a} = 8.94 \times 10^{-10} \text{ cm}^2 \cdot \text{s}^{-1}$  和  $D_{\text{Li}^+,c} = 6.65 \times 10^{-10} \text{ cm}^2 \cdot \text{s}^{-1}$ 。比相关文献报道过[23]的 LiFePO<sub>4</sub> 在相同浓度的 Li<sub>2</sub>SO<sub>4</sub> 水溶液中的 10<sup>-11</sup> 的扩散系数略高。表明由本文方法制备的 FePO<sub>4</sub> 前驱体合成的 LiFePO<sub>4</sub> 具有良好的电化学性能。

#### 4. 结论

1) 以 FeSO<sub>4</sub> 和 H<sub>3</sub>PO<sub>4</sub> 为原料，通过控制氧化 Fe<sup>2+</sup>时溶液的 pH<sub>(1)</sub> 为 1.6~2.0，在不添加任何有机添加



**Figure 5.** (a) Cyclic voltammograms of LiFePO<sub>4</sub>/C in 1.0 mol/L Li<sub>2</sub>SO<sub>4</sub>·H<sub>2</sub>O at various scan rates; (b) Plots of  $i_p$  vs  $v^{1/2}$

**图 5.** (a) 不同扫描速度下 LiFePO<sub>4</sub>/C 在 1.0 mol/L Li<sub>2</sub>SO<sub>4</sub>·H<sub>2</sub>O 溶液中的循环伏安曲线; (b)  $i_p$ - $v^{1/2}$  关系图

剂的条件下，合成了类球形貌的 FePO<sub>4</sub>·2H<sub>2</sub>O 前驱体。类球形二次颗粒由 200 nm 左右且晶粒尺寸较为均匀的一次颗粒构成。

2) 以自制的 FePO<sub>4</sub> 前驱体合成得粒径为 1 μm 的球形 LiFePO<sub>4</sub>/C 正极材料。在 1.0 mol/L 的 Li<sub>2</sub>SO<sub>4</sub>·H<sub>2</sub>O 水溶液中，球形 LiFePO<sub>4</sub>/C 显示良好的 Li<sup>+</sup>嵌脱性能。

## 致 谢

感谢国家自然科学基金(21173196)和浙江振华新能源材料有限公司对本研究工作的资助。

## 参考文献 (References)

- [1] Padhi, A.K., Nanjundaswamy, K.S. and Goodenough, J.B. (1997) Phospho-olivines as positive-electrode materials for rechargeable lithium batteries. *Journal of the Electrochemical Society*, **144**, 1188-1194.
- [2] Amine, K., Liu, J., Belharouak, I., Kang, S.H., Bloom, I., Vissers, D. and Henriksen, G. (2005) Advanced cathode materials for high-power applications. *Journal of Power Sources*, **146**, 111-115.
- [3] Liao, X.Z., Ma, Z.F., He, Y.S., Zhang, X.M., Wang, L. and Jiang, Y. (2005) Electrochemical Behavior of LiFePO<sub>4</sub>/C Cathode Material for Rechargeable Lithium Batteries. *Journal of the Electrochemical Society*, **152**, A1969-A1973.
- [4] Tarascon, J.M., Gruger, S., Morcrette, M., Laruelle, S., Rozier, P. and Poizot, P. (2005) New concepts for the search of better electrode materials for rechargeable lithium batteries. *Comptes Rendus Chimie*, **8**, 9-15.
- [5] Dodd, J.L., Yazami, R. and Fultz, B. (2006) Phase Diagram of Li<sub>x</sub>FePO<sub>4</sub>. *Electrochemical and Solid-State Letters*, **9**, A151-A155.
- [6] Anna, S.A., Beata, K., Lennart, H. and John, O.T. (2000) Lithium extraction/insertion in LiFePO<sub>4</sub>: An X-ray diffraction and Mossbauer spectroscopy study. *Solid State Ionics*, **130**, 41-52.
- [7] Macneil, D.D., Lu, Z., Chen, Z. and Dahn, J.R. (2002) A comparison of electrode/electrolyte reaction at elevated temperature for various Li-ion battery cathodes. *Journal of Power Sources*, **108**, 8-14.
- [8] Franger, S., Bourbon, C. and Le Cras, F. (2004) Optimized lithium iron phosphate for high-rate electrochemical applications. *Journal of the Electrochemical Society*, **151**, A1024-A1027.
- [9] Chung, S.Y., Bloking, J.T. and Chiang, Y.M. (2002) Electronically conductive phospho-olivines as lithium storage electrodes. *Nature Materials*, **1**, 123-128.
- [10] Hu, Y.S., Guo, Y.G., Dominko, R., Dominko, R., Gaberscek, M., Jamnik, J. and Maier, J. (2007) Improved electrode performance of porous LiFePO<sub>4</sub> using RuO<sub>2</sub> as an oxidic nanoscale interconnect. *Advanced Materials*, **19**, 1963-1966.
- [11] Gao, J., Li, J. and He, X. (2011) Synthesis and electrochemical characteristics of LiFePO<sub>4</sub>/C cathode materials from different precursors. *International Journal of Electrochemical Science*, **6**, 2819-2825.
- [12] 王志兴, 伍凌, 李新海, 胡启明, 郭华军, 彭文杰, 张云河 (2008) LiFePO<sub>4</sub> 的前驱体制备与性能. *功能材料*, **4**, 614-617.

- [13] 胡国荣, 周玉琳, 彭忠东, 高旭光 (2007) LiFePO<sub>4</sub> 前驱体 FePO<sub>4</sub> 的制备及性能. *电池*, **5**, 339-341.
- [14] 叶焕英, 郑典模, 陈骏驰, 李会芹 (2012) 超细二水磷酸铁的制备研究. *无机盐工业*, **4**, 59-61.
- [15] Scaccia, S., Carewska, M., Bartolomeo, A.D. and Prosini, P.P. (2002) Thermoanalytical investigation of iron phosphate obtained by spontaneous precipitation from aqueous solutions. *Thermochimica Acta*, **383**, 145-152.
- [16] Boonchom, B. and Danvirutai, C. (2007) Thermal decomposition kinetics of FePO<sub>4</sub>·3H<sub>2</sub>O precursor to synthesize spherical nanoparticles FePO<sub>4</sub>. *Industrial and Engineering Chemistry Research*, **46**, 9071-9076.
- [17] Boonchom, B. and Puttawong, S. (2010) Thermodynamics and kinetics of the dehydration reaction of FePO<sub>4</sub>·2H<sub>2</sub>O. *Physica B: Condensed Matter*, **405**, 2350-2355.
- [18] Pierri, E., Tsamouras, D. and Dalas, E. (2000) Ferric phosphate precipitation in aqueous media. *Journal of Crystal Growth*, **213**, 93-98.
- [19] 彭忠东, 唐代春, 胡国荣, 杜柯, 曹雁冰 (2012) 均匀沉淀法制备 LiFePO<sub>4</sub>/C 及其电化学性能. *中国有色金属学报*, **5**, 1319-1325.
- [20] Luo, G., Liu, W.J. and Yu, X.Y. (2013) Effect of pyrrole additive on structure and properties of LiFePO<sub>4</sub>/C cathode materials prepared by in situ polymerization restriction method. *Journal of the Chinese Ceramic Society*, **41**, 19-23.
- [21] Misawa, T., Hashimoto, K. and Shimodaira, S. (1973) Formation of Fe(II)-Fe(III) intermediate green complex on oxidation of ferrous ion in neutral and slightly alkaline sulphate solutions. *Journal of Inorganic and Nuclear Chemistry*, **35**, 4167-4174.
- [22] He, P., Zhang, X., Wang, Y.G., Cheng, L. and Xia, Y.Y. (2008) Lithium-ion intercalation behavior of LiFePO<sub>4</sub> in aqueous and nonaqueous electrolyte solutions. *Journal of the Electrochemical Society*, **155**, A144-A150.
- [23] Mi, C.H., Zhang, X.G. and Li, H.L. (2007) Electrochemical behaviors of solid LiFePO<sub>4</sub> and Li<sub>0.99</sub>Nb<sub>0.01</sub>FePO<sub>4</sub> in Li<sub>2</sub>SO<sub>4</sub> aqueous electrolyte. *Journal of Electrochemical Chemistry*, **602**, 245 -254.
- [24] Scaccia, S., Carewska, M., Bartolomeo, A.D. and Prosini, P.P. (2002) Thermoanalytical investigation of iron phosphate obtained by spontaneous precipitation from aqueous solutions. *Thermochimica Acta*, **383**, 145-152.
- [25] 武汉大学 (2010) 分析化学(第五版)上册. 高等教育出版社, 武汉.
- [26] Lee, M.H., Kim, J.Y. and Song, H.K. (2010) A hollow sphere secondary structure of LiFePO<sub>4</sub> nanoparticles. *Chemical Communications*, **46**, 6795-6797.
- [27] Yutaka, T., Takashi, Y. and Takashi, K. (1984) The synthesis of green rust II ( $\text{Fe}^{\text{III}}\text{u}_1 - \text{Fe}^{\text{III}}\text{u}_2$ ) and its spontaneous transformation into  $\text{Fe}_3\text{O}_4$ . *Bulletin of the Chemical Society of Japan A*, **57**, 2411-2416.
- [28] Bocher, F., Gehin, A., Ruby, C., Ghanbaja, J., Abdelmoula, M. and Genin, J.M. (2004) Coprecipitation of Fe(II-III) hydroxycarbonate green rust stabilised by phosphate adsorption. *Solid State Sciences*, **6**, 117-124.
- [29] Choi, J., Batchelor, B., Won, C. and Chung, J. (2012) Nitrate reduction by green rusts modified with trace metals. *Chemosphere*, **86**, 860-865.
- [30] O'Loughlin, E.J., Kelly, S.D., Kemner, K.M., Roseann, C. and Russell, E. (2003) Reduction of Ag<sup>I</sup>, Au<sup>III</sup>, Cu<sup>II</sup>, and Hg<sup>II</sup> by Fe<sup>II</sup>/Fe<sup>III</sup> hydroxysulfate green rust. *Chemosphere*, **53**, 437-446.
- [31] Wu, W.M., Wen, Z.H. and Li, J.H. (2011) Hierarchical carbon-coated LiFePO<sub>4</sub> nanoplate microspheres with high electrochemical performance. *Advanced Materials*, **23**, 1126-1129.
- [32] Manickam, M., Singh, P., Thurgate, S. and Prince, K. (2006) Redox behavior and surface characterization of LiFePO<sub>4</sub> in lithium hydroxide electrolyte. *Journal of Power Sources*, **158**, 646-649.
- [33] 黄可龙, 杨赛, 刘素琴, 王海波 (2007) 磷酸铁锂在水溶液中的循环伏安研究. *电源技术*, **131**, 386-388.
- [34] Rho, Y.H. and Kanamura, K. (2004) Li<sup>+</sup>-ion diffusion in LiCoO<sub>2</sub> thin film prepared by the poly (vinylpyrrolidone) sol-gel method. *Journal of the Electrochemical Society*, **151**, A1406-A1411.